



Modeling spectral indicators (NDVI- LST- SMI) to improve the management of morpho-environmental urban systems in Al-Mada'in district using RS & GIS technology

Dr.Maher AbdulMajeed AbdulRazaq

University of Thi Qar / College of Arts

Dr.Ahmed Mees Sadkhan

University of Baghdad / College of Education for Girls

Prof. Dr. Ali Majeed Yasseen

University of Thi Qar / College of Arts

Received 2/6/2025, Accepted 27/5/2025, Published 30/6/2025

Abstract

The Difference in Vegetation Index (NDVI), Land Surface Temperature (LST) and Soil Moisture Index (SMI) are crucial for the management of morpho-ecosystems. This study was applied to the Al-Mada'in District, south of Baghdad Governorate, with an area of (1311.84/km²), As for the location of the region astronomically, it is located between two circles of latitude (32° 59' 50" - 33° 27' 16") north, and two arcs of longitude (44° 28' 59" - 44° 56' 29") east. The increase in degrees Temperature and low amounts of soil moisture due to the removal of vegetation cover to replace barren lands or urban areas. Therefore, the study will provide an analysis of these indicators that will reveal temporal and spatial changes for the period (2013-2023), based on Land Sat-8 satellite data, and detect changes. Morpho-environmental data by drawing on global terrestrial ecosystem data set categories developed by the USGS, The Nature Conservancy, and Esri.

The research aims to enhance the understanding of human impacts on morpho-ecological systems using remote sensing, with implications for integrated management, as the variables of these systems are of particular importance, such as vegetation, which affects the exchange of energy, moisture, and carbon fluxes at the atmosphere interface. Ground.

In this study, 30-m multispectral thermal bands and 100-m thermal bands from the Landsat-8 satellite (including OLI and TIRS sensors), were downloaded from the USA USGS website (www.earthexplorer.usgs.gov), and from Then prepare multispectral beams for subsequent calculations by analyzing band 4 and band 5 data and digital data of band 10 of the thermal infrared (TIR) sensor to estimate the land surface temperature (LST) in the study area. In this research, the TIR band is used 10) to derive (LST) instead of band 11 because TIR band 11 has greater inaccuracy compared to deriving LST.

The simulation results showed a change in the density of vegetation and land surface temperature as a result of the change in land cover. In general, a negative change occurred in the area of agriculture, forests, and water bodies, while a positive change appeared in the building area. Therefore, this study will provide the necessary tools to predict the amounts of Increase and decrease in areas of morpho-ecosystems Until the year 2050.

Keywords: spectral indices, vegetation index (NDVI), land surface temperature index (LST), morpho-ecological systems.



نمذجة المؤشرات الطيفية (NDVI- LST- SMI) لتحسين ادارة النظم المورفو-بيئية -

الحضرية لقضاء المدائن بأسستخدام تقانة RS & GIS

أ.م.د. احمد ميس سدخان *

جمهورية العراق - جامعة بغداد/ كلية التربية للبنات
Aхmed.m@coeduw.uobaghdad.edu.iq

م. د. ماهر عبد المجيد عبد الرزاق

جمهورية العراق - جامعة ذي قار/ كلية الاداب
maherabdulmaged@utq.edu.iq

د. علي مجید ياسين

جمهورية العراق - جامعة ذي قار/ كلية الاداب

alimajeed@utq.edu.iq

المستخلاص

يعد مؤشر الاختلاف في الغطاء النباتي (NDVI) ، درجة حرارة سطح الأرض (LST) و مؤشر رطوبة التربة (SMI) أمرًا بالغ الأهمية لإدارة النظم المورفو-بيئية-الحضرية ، طبقت هذه الدراسة على قضاء المدائن جنوبى محافظة بغداد بلغت مساحتها (١٣١١.٨٤ / كم ٢) ، اما موقع المنطقة فلکیا فهي تقع بين دائري عرض (٣٢° ٣٢' ١٦" - ٣٣° ٢٧' ٥٩") شماليًا، وقوسي طول (٤٤° ٢٩' ٥٦" - ٤٤° ٢٩' ٥٩") شرقاً، ان الزيادة الحاصلة في درجات الحرارة وانخفاض مقادير رطوبة التربة بسبب ازالة الغطاء النباتي ليحل محله الاراضي الجرداء او المناطق الحضرية، لذلك ستتوفر الدراسة تحليل تلك المؤشرات من شأنها الكشف عن التغيرات الزمانية والمكانية للمدة (٢٠١٣ - ٢٠٢٣)، اعتماداً على بيانات القمر الصناعي 8 Land Sat-، والكشف عن التغيرات المورفو-بيئية-الحضرية من خلال الاعتماد على بيانات فئات مجموعة بيانات النظام البيئي الأرضي العالمي التي طورتها هيئة المسح الجيولوجي الأمريكية ومنظمة الحفاظ على الطبيعة وشركة Esri.

يهدف البحث الى تعزيز فهم التأثيرات الطبيعية والبشرية على النظم المورفو-بيئية-الحضرية باستخدام الاستشعار عن بعد مع ما يترتب على ذلك من آثار على الإدارات المتكاملة للارض الحضرية والطبيعية، اذ تعتبر متغيرات تلك النظم ذات أهمية خاصة مثل الغطاء النباتي الذي يؤثر على تبادل الطاقة والرطوبة وتدفقات الكربون في واجهة الغلاف الجوي الأرضي.

في هذه الدراسة، تم تنزيل نطاقات حرارية متعددة الأطيف بطول ٣٠ متراً و نطاقات حرارية بطول ١٠٠ متراً من القمر الصناعي Landsat-8 (بما في ذلك مستشعرات OLI و TIRS)، من موقع USGS بالولايات المتحدة الأمريكية، ومن ثم إعداد حزم متعددة الأطيف لإجراء الحسابات اللاحقة من خلال تحليل بيانات النطاق ٤ والنطاق ٥ والبيانات الرقمية للنطاق ١٠ لجهاز استشعار الأشعة تحت الحمراء الحرارية (TIR) لتقدير درجة حرارة سطح الأرض (LST) في منطقة الدراسة، في هذا البحث، يتم استخدام نطاق (TIR 10) لاشتقاق (LST) بدلاً من النطاق ١١ لأن نطاق TIR 11 فيه قدر أكبر من عدم الدقة بالنسبة لاشتقاق LST.

بينت نتائج المحاكاة تغير في كثافة الغطاء النباتي ودرجة حرارة سطح الأرض نتيجة للتغير في الغطاء الأرضي الطبيعي واستبدال اجزاء منه بالغطاء الحضري ، وبشكل عام، حدث تغير سلبي في مساحة الزراعة والغابات والمسطحات المائية، في



حين ظهر تغير إيجابي في مساحة البناء، لذا ستعمل هذه الدراسة على توفير الأدوات اللازمة للتبيّن بمقادير الزيادة والنقصان في مساحات النظم المورفو- بيئية لغاية العام ٢٠٥٠ .

الكلمات المفتاحية: المؤشرات الطيفية، مؤشر الغطاء النباتي NDVI، مؤشر درجة حرارة سطح الأرض LST، النظم المورفو- بيئية.

١ - المقدمة

تتأثر البيئة المحلية بشكل كبير بغطاء سطح الأرض والمسطحات المائية، و تعد درجة حرارة سطح الأرض LST عاملًا مهمًا في فيزياء عمليات تبادل الطاقة ويستخدم على نطاق واسع في الهيدرولوجيا والأرصاد الجوية وعلم المناخ كمؤشر رئيس لميزانية طاقة سطح الأرض^١. يرتبط LST بخصائص سطحية مختلفة مثل الانعكاسية والانبعاثية والخصائص الحرارية لأنواع غطاء استخدام الأرضي و تتمتع كل من هذه الخصائص بدرجة عالية من التباين مع التغير في استخدام الأرضي والغطاء الأرضي الناجم عن التطور الحضري السريع، يتأثر LST بعوامل عدة: الإشعاع الشمسي ونوع الغطاء الأرضي وخصائص التربة والغطاء النباتي والأنشطة البشرية^٢. لقد مكنت تقانات الاستشعار عن بعد، وخاصة أجهزة الاستشعار بالأشعة تحت الحمراء الموجدة على متن الأقمار الصناعية، من تقديم بيانات LST الدقيقة على نطاق عالمي، و تعد درجة حرارة سطح الأرض معلمة أساسية في الجيومورفولوجيا البيئية و الحضرية ، حيث تلعب دوراً حيوياً في فهم التفاعلات بين اشكال سطح الأرض والغلاف الجوي والمناخ، مما يجعل بيانات LST مورداً بالغ الأهمية لمواجهة التحديات البيئية العالمية^٣.

تؤثر الخواص الإشعاعية لسطح الأرض على شدة الإشعاع طويل الموجة المنبعث منها، والتي يتم تسجيلاها بواسطة منصات الاستشعار عن بعد المعتمدة على الأقمار الصناعية، كانت الأهداف الرئيسية للدراسة هي تحليل استخدام الأرضي / فئات الغطاء الأرضي ٢٠١٧-٢٠٢٣ في منطقة الدراسة لمعرفة الخلل الذي اصاب الغطاء النباتي ودرجة حرارة سطح الأرض نتيجة للتغير في الغطاء الأرضي، وبشكل عام، حدث تغير سلبي في مساحة اراضي المحاصيل والاشجار والماء بال مقابل حصل تغير ايجابي في مساحة اراضي المناطق المبنية الحضرية والاراضي الجرداء، ومن بعد ذلك سيتم حساب انبعاثية سطح الأرض (LSE) باستخدام مؤشر الاختلاف النباتي الطبيعي (NDVI)، وحساب درجة حرارة السطوع باستخدام النطاق ١٠ من TIR، وتحديد



LST في قضاء المدائن، وبذلك يمكن تحديد النطاق المناخي للمنطقة التي تقع ضمن المنطقة السهلية حسب التقسيم الفيزيوغرافي للعراق والتي سيكون لها نظام مورفو- بيئي - حضري محدد يمكن التنبؤ بتلك التغيرات.

٢- منطقة الدراسة وطريقة العمل

١-١: منطقة الدراسة

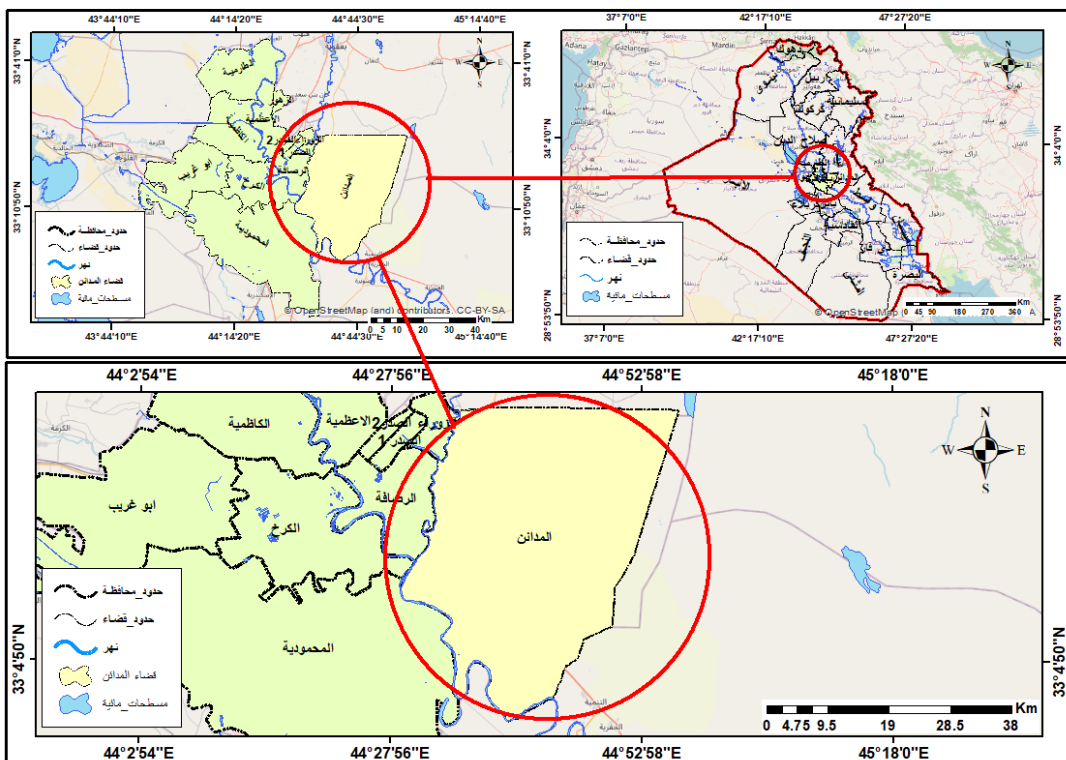
قضاء المدائن جنوبى محافظة بغداد بلغت مساحته (١٣١١.٨٤ كم^٢) ، موقع المنطقة فلكيا يقع بين دائرتى عرض (٣٣° ٢٧' ٥٩" - ٣٢° ٥٩' ١٦") شمala، وقوسي طول (٤٤° ٢٨' ٥٩" - ٤٤° ٥٦' ٢٩") شرقا. ينظر الخريطة (١)، يقدر عدد السكان بحسب التقديرات الاحصائية لعام ٢٠١٩ م حوالي (٤٧١.٧٧٢ نسمة) من اصل مجموع سكان محافظة بغداد البالغة (٨,٣٤٠,٧١١ نسمة)^٤ ، المناخ الأقليمي لمدينة بغداد يعكس صفات مناخ وسط العراق، وفقاً لتصنيف كوبن المناخي يعد مناخ مدينة بغداد صحراوياً جافاً يقع في ضمن الصنف (BWh) ، تبدأ الكتل الهوائية بعبور المنطقة ابتداءً من الخريف ويزداد التباين في خواصها الفيزيائية كلما أقتربنا من الشتاء ويقل التباين كلما أقتربنا من نهاية الربيع، حتى ينعدم التباين مع بداية الصيف، ولا تكون السيادة على المنطقة الا من نوع واحد تقريباً من الكتل الهوائية القارية لوسط آسيا التي تشكل قوساً حول المنطقة التي تقع تحت تأثير منظومة الضغط الواطيء الموسمية وهذا ما يعزز الجفاف في المنطقة

٥

٢-٢: طرق جمع البيانات

تم متابعة التغير في استخدام الأراضي والغطاء الأرضي (LULC)، اعتماداً على مستكشف الغطاء الأرضي المشتق من مرئيات إيري | سينتيل-٢ مستكشف الغطاء الأرضي (Sentinel-2 Land) Esri | Sentinel-2 Land (Cover Explorer)^٦. اذ تنزيل تلك الطبقات لمدة (٢٠١٧ - ٢٠٢٣)، ومن ثم معالجتها في برنامج Arc Map من اجل اعادة تصنيفها واستخراج مساحة ونسبة (LULC)، كما تم تحليل البيانات الرقمية للقمر الصناعي Landsat 8 Operational Land Imager (OLI) وتحديداً النطاق ٤ ونطاق ٥ وبيانات النطاق

الخريطة (١) موقع قضاء المدائن من العراق ومحافظة بغداد



المصدر: الباحث بالاعتماد على : جمهورية العراق، وزارة الموارد المائية، الهيئة العامة للمساحة، قسم انتاج الخرائط، خريطة محافظة بغداد، مقياس ١:١٠٠٠٠٠، ٢٠١٠.

١٠. الرقمية لمستشعر الأشعة تحت الحمراء الحراري (TIR)، (ينظر الجدول (١)) لتقدير درجة حرارة سطح الأرض (LST) لمنطقة الدراسة، في هذا البحث، يتم استخدام نطاق TIR 10 لاشتقاق LST بدلاً من النطاق

١١ لأن نطاق TIR 11 به قدر أكبر من عدم اليقين بالنسبة لاشتقاق LST ، بحسب الخطوات الآتية :
 ١-٢-٢: اشتقاق إشعاع قمة الغلاف الجوي / Conversion to Top-of-Atmosphere (TOA) Radiance حسب

المعادلة الآتية:

$$L(\lambda) = ML \times \text{Band 10} + AL - Oi$$

حيث ان :

$L(\lambda)$: TOA spectral radiance

ML: Radiance multiplicative band (from MTL txt)- RADIANCE_MULT_BAND_10 = 3.3420E-04

AL: Radiance add band #10 (from MTL txt)- RADIANCE_ADD_BAND_10 = 0.10000

Oi: correction value (for Landsat 8 Band#10 its = 0.29)



٢-٢-٢: التحويل إلى درجة حرارة السطوع في أعلى الغلاف الجوي / Conversion to Top-of-Atmosphere (TOA)

حسب المعادلة الآتية:

$$\text{Kelvin (k) to Celsius degree Co } BT = K2 / \ln(k1/L(\lambda)+1) - 273.15$$

حيث ان:

BT: Top of Atmosphere brightness temperature C°

L(λ): TOA spectral radiance

K1: K1 constant for band#10 (from MTL txt)- *K1_CONSTANT_BAND_10* = 774.8853

K2: K2 constant for band#10 (from MTL txt)- *K2_CONSTANT_BAND_10* = 1321.0789

٢-٣-٢: اشتقاق مؤشر الاختلاف الطبيعي للغطاء النباتي / NDVI Normalized Difference Vegetation Index

حسب المعادلة الآتية:

$$NDVI = (NIR - RED) / (NIR + RED)$$

حيث ان:

NIR = DN value from Near Infrared (band 5)

RED = DN value from Red (band 4)

٤-٢-٢: اشتقاق انباعية سطح الأرض / Land Surface Emissivity (LSE) ويتم ذلك من خلال خطوتين: الاولى اشتقاق

نسبة الغطاء النباتي (PV): حسب المعادلة الآتية:

$$PV = ((NDVI - NDVI_{min}) / (NDVI_{max} - NDVI_{min}))^2$$

حيث ان:

PV: Portion of Vegetation

NDVI: values of NDVI

NDVI max/min: Max & Min values of NDVI image

ومن ثم تطبيق الخطوة الثانية حسب المعادلة الآتية:

$$E = 0.004 * PV + 0.986$$

حيث ان:

E : Land Surface Emissivity

PV: Portion of Vegetation

٥-٢-٢: اشتقاق درجة حرارة سطح الأرض / Land Surface Temperature (LST) حسب المعادلة الآتية:

$$LST = BT / (1 + (\lambda * BT / C2) * \ln(E))$$

حيث ان:

BT: Top of Atmosphere brightness temperature C°

λ: Wavelength of emitted radiance

for Landsat8 Band#10 λ= 10.8 and for Band#11 λ=12



E : Land Surface Emissivity

$$C_2 = h*c/s \quad C_2 = 14388 \text{ mK}$$

h: Plank's constant = $6.626 * 10^{-34}$ mK

s: Boltzmann constant = $1.38 * 10^{-23}$ JK

c: velocity of light = $2.998 * 10^8$ m/s

٦-٢-٦: اشتراق مؤشر رطوبة التربة / Soil Moisture Index (SMI) حسب المعادلة الآتية:

$$\text{SMI} = (\text{LSTmax} - \text{LST}) / (\text{LSTmax} - \text{LSTmin})$$

الجدول (١) مواصفات بيانات الأقمار الصناعية Landsat 8 OLI & TIRS

Specifications		Satellite/ Sensor	
Acquisition date		Landsat 8 OLI & TIRS	
7th April-2013 - 17th December-2013 & 1th April 2023- 19 th December2023			
UTM ZONE = 38- ELLIPSOID = "WGS84"		Data Product	
Band information, m	Wavelength, μm	Resolution, m	Band
Coastal aerosol	0.43–0.45	30	1
Blue	0.45–0.51	30	2
Green	0.53–0.59	30	3
Red	0.64–0.67	30	4
Near Infrared (NIR)	0.85–0.88	30	5
SWIR-1	1.57–1.65	30	6
SWIR-2	2.11–2.29	30	7
Panchromatic	0.50–0.68	15	8
Cirrus	1.36–1.38	30	9
Thermal Infrared (TIRS)-1	10.6–11.19	100	10
Thermal Infrared (TIRS)-2	11.50–12.51	100	11

المصدر :

Duda B. Balas a*, Mukesh Kumar Tiwari a, Mukesh Trivedi b and Gautam R. Patel c, Impact of Land Surface Temperature (LST) and Ground Air Temperature (Tair) on Land Use and Land Cover (LULC): An Investigative Study, International Journal of Environment and Climate Change, Volume 13, Issue 10, Page 3117-3130, 2023; Article no.IJECC.106326, ISSN: 2581-8627, (Past name: British Journal of Environment & Climate Change, Past ISSN: 2231-4784).

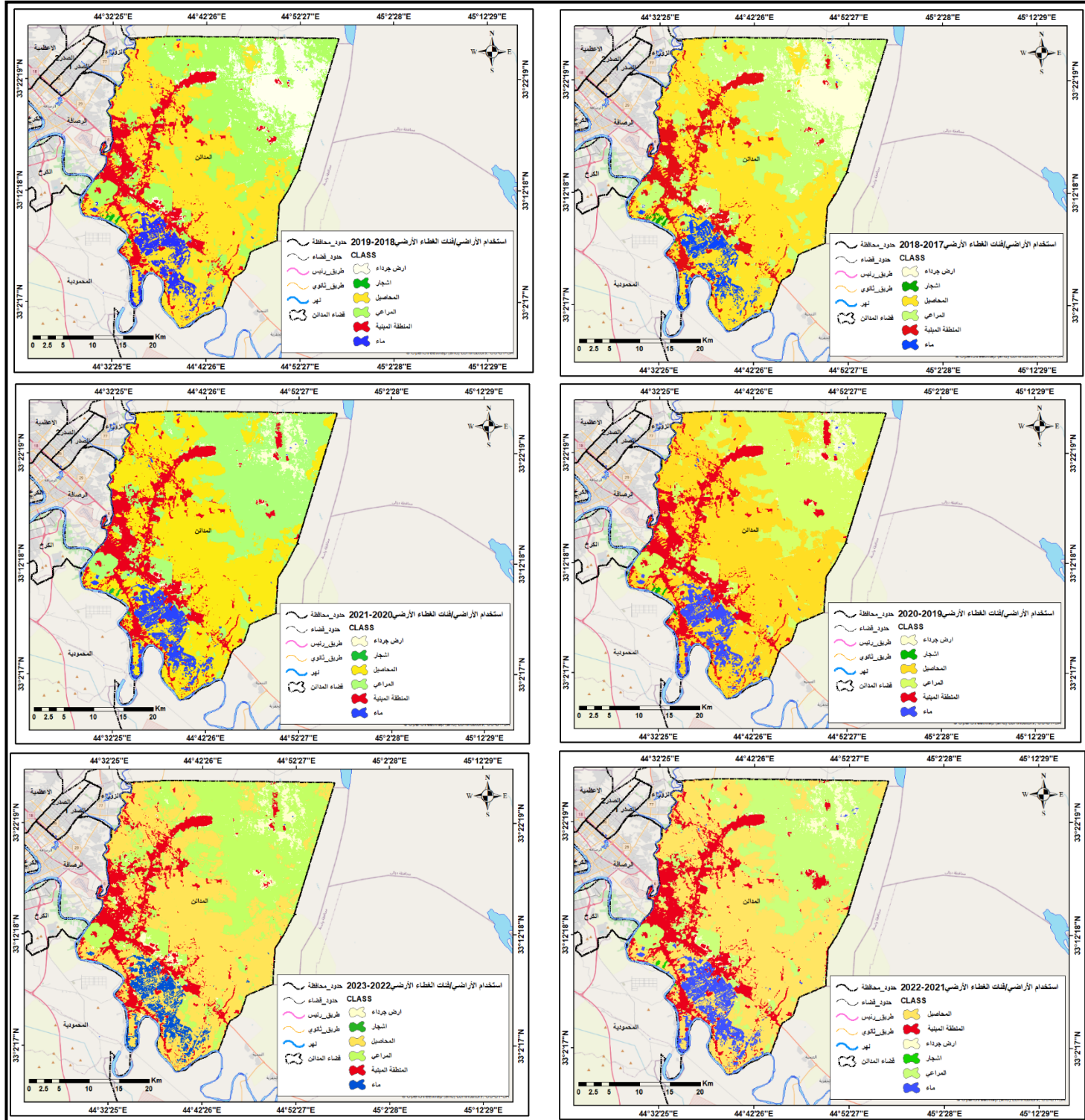
٣- النتائج والمناقشة

٤-١: التغير في استخدام الأراضي/ فئات الغطاء الأرضي (LULC) ٢٠٢٣- ٢٠١٧



لوحظ تغير مفاجئ في المناطق المبنية والزراعية، ويرجع السبب في زيادة مساحة التوسيع الحضري والتصنيع، و ما يرافق عملية التشييد للمباني بسبب زيادة عدد السكان وانشطتهم الحضرية والاقتصادية ضمن المنطقة و زيادة الطلب على بناء منازل جديدة لإيوائهم، يظهر من الخريطة (٢) والجدول (٢)، تقلص في مساحة الاراضي الجراء من 164.96 كم^2 الى 120.58 كم^2 لالمدة (٢٠١٧-٢٠١٨) الى 51.6 كم^2 3.93% لالمدة (٢٠٢٢-٢٠٢٣)، سبب ذلك تزايد مجموع الامطار في المنطقة وتتوسع مساحة اراضي المحاصيل والمرعوي والمنطقة المبنية الحضرية على حسابها، وهذا امر جيد في ايجاد نظام بيئي متوازن، الا ان الملاحظ هو انخفاض مساحة ونسبة صنف الاشجار اذ شغلت خلال المدة (٢٠١٧-٢٠١٨) مساحة قدرها 2.9 كم^2 2.09% ثم انخفضت الى ادنى مساحة لها خلال المدة (٢٠٢٢-٢٠٢٣) لتصل الى 0.009 كم^2 0.022% هذا ناتج عن التوسيع العمراني الحضري العشوائي باتجاه الاراضي الزراعية وازالة تلك الاشجار سيؤثر ذلك في امدادات الاوكسجين وتبادل الكربون بشكل سلبي، كما تبين زيادة كبيرة في مساحة ونسبة المنطقة المبنية الحضرية ، اذ بلغت مساحتها 139.28 كم^2 10.62% لالمدة (٢٠١٧-٢٠١٨) لتصل الى 161.96 كم^2 12.35% لالمدة (٢٠٢٢-٢٠٢٣)، هذا التغير سيعمل على تغيير الخصائص الحرارية LST ورطوبة التربة SMI ومن ثم ارتفاع درجات الحرارة وتعرض المنطقة الى اجهاد لصفات المناخ المحلي لها، في بعض الاحيان يتضح تقلص في مساحة المنطقة المبنية بعد زيتها مثل ذلك عند المقارنة بين المدة (٢٠٢١-٢٠٢٢) والمدة (٢٠٢٢-٢٠٢٣) وهذا ناتج عن تحول جنس الاستعمال السكني احيانا الى استعمال صناعي او زراعي خصوصا في المناطق الزراعية بعد ازدياد النشاط الزراعي في الاونة الاخيرة خصوصا ما يتعلق بتربية الاسماك، اذ ان الزيادة في مساحة الماء من 58.21 كم^2 4.44% لالمدة (٢٠١٧-٢٠١٨) لتصل اعلى قيمة لها خلال المدة (٢٠٢٠-٢٠٢١) بمقدار 76.33 كم^2 5.82% من مجموع مساحة منطقة الدراسة ثم انخفضت المساحة نتيجة مشكلة شح المياه ومخالفة ضوابط انشاء بحيرات الاسماك الامر الذي ادى الى ردم تلك البحيرات من قبل مفازر وزاري الموارد المائية والداخلية للمخالفين وبذلك تقلصت مساحة الماء لتصل الى 62.61 كم^2 4.77% لالمدة (٢٠٢٢-٢٠٢٣)، من ذلك يظهر ان التغيرات الحاصلة في (LULC) ستعمل على تباين في النظم المورفو-بيئية-الحضرية نتيجة التباين الزمني والمكاني لممؤشرات حرارة ورطوبة التربة في المنطقة فضلا عن تباين كثافة الغطاء الحضري.

الخريطة (٢) تغير استخدام الأراضي / فئات الغطاء الأرضي (LULC) ٢٠١٧-٢٠٢٣ في قضاء المدائن



المصدر: عمل الباحث بالاعتماد على / <https://livingatlas.arcgis.com> وتقانات برنامج .ArcMap10.4.2



الجدول (٢) تباين مساحة ونسبة استخدام الأراضي/ فئات الغطاء الأرضي (LULC) في قضاء المدائن ٢٠٢٣-٢٠١٧ (LULC)

النسبة %	المساحة /كم²	الصنف	المدة
١٢.٥٨	١٦٤.٩٦	ارض جراء	٢٠١٨-٢٠١٧
٠.٢٢	٢.٩	أشجار	
٤٢.٨١	٥٦١.٥٩	المحاصيل	
٢٩.٣٤	٣٨٤.٨٩	المراعي	
١٠.٦٢	١٣٩.٢٨	المنطقة المبنية	
٤.٤٤	٥٨.٢١	ماء	
١١.٧٦	١٥٤.٢٨	ارض جراء	
٠.١٧	٢.٢٦	أشجار	٢٠١٩-٢٠١٨
٤١.٩٦	٥٥٠.٤٢	المحاصيل	
٣٠.٤٢	٣٩٩.٠١	المراعي	
١٠.٧٣	١٤٠.٨	المنطقة المبنية	
٤.٩٦	٦٥.٠٨	ماء	
٢.٨	٣٦.٧١	ارض جراء	
٠.١٧	٢.١٩	أشجار	
٤٨.٩٧	٦٤٢.٤١	المحاصيل	٢٠٢٠-٢٠١٩
٣٠.٢٦	٣٩٦.٩١	المراعي	
١٢.٤٤	١٦٣.٢١	المنطقة المبنية	
٥.٣٧	٧٠.٤١	ماء	
٢.٧٢	٣٥.٧٣	ارض جراء	
٠.١١	١.٤٩	أشجار	
٤٧.٤٥	٦٢٢.٤٥	المحاصيل	
٣٠.٧٥	٤٠٣.٤٥	المراعي	٢٠٢١-٢٠٢٠
١٣.١٤	١٧٢.٣٩	المنطقة المبنية	
٥.٨٢	٧٦.٣٣	ماء	
٢.٦٣	٣٤.٤٧	ارض جراء	
			٢٠٢٢-٢٠٢١



٠.١	١.٢٩	أشجار	
٤٧.٠٤	٦١٧.٠٤	المحاصيل	
٣٠.٤٦	٣٩٩.٦	المراعي	
١٤.١	١٨٤.٩٨	المنطقة المبنية	
٥.٦٨	٧٤.٤٧	ماء	
٣.٩٣	٥١.٦	ارض جردا	
٠.٠١	٠.٠٩	أشجار	
٤٤.٦٩	٥٨٦.٢٩	المحاصيل	٢٠٢٣-٢٠٢٢
٣٤.٢٥	٤٤٩.٣	المراعي	
١٢.٣٥	١٦١.٩٦	المنطقة المبنية	
٤.٧٧	٦٢.٦١	ماء	

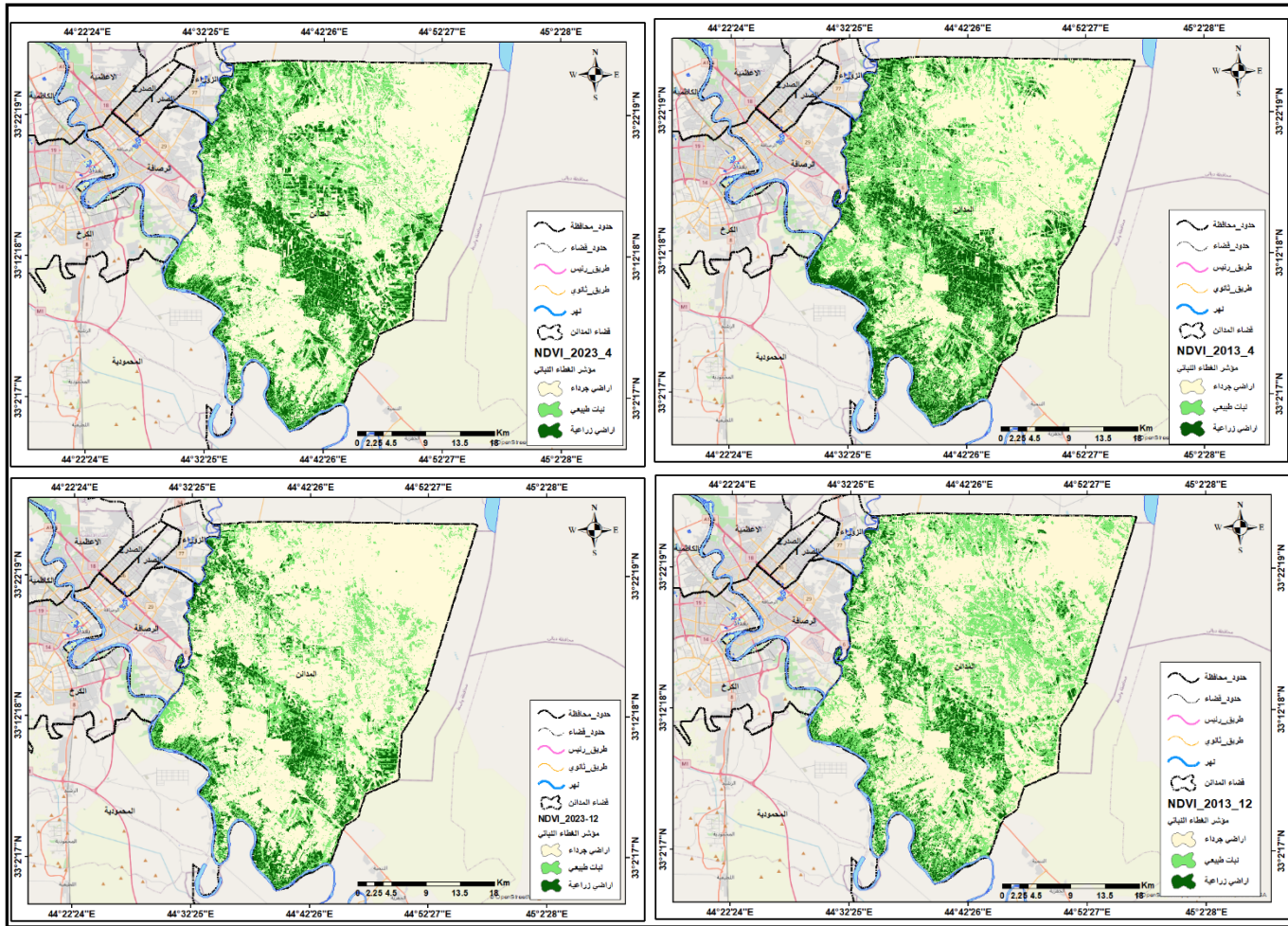
المصدر: عمل الباحث بالاعتماد على الخريطة (٢).

٢-٣: التغير في مؤشر الغطاء النباتي NDVI للسنوات (٢٠١٣ - ٢٠٢٣)

يظهر من الخريطة (٣) والجدول (٣)، حقائق عد، كشفت أن المنطقة الشمالية الغربية من منطقة الدراسة فيها أدنى قدر من الغطاء النباتي (قيمة LST أعلى)، في حين أن الجانب الجنوبي والوسط فيه كمية كثيفة من الغطاء النباتي، عندما تتجاوز قيمة 0.6 NDVI، فهذا يشير إلى وجود نباتات كثيفة، أو اشجار اذ تتم الإشارة إلى النباتات الكثيفة الصغيرة أو غير الصحيحة من خلال تصنيف إيجابي أقل وعادة ما ترتبط قيم NDVI السلبية بالبيئات الصخرية أو الرملية أو الثلوجية القاحلة^٧. ويمكن ملاحظة أن كمية النبات في المنطقة لم ترتفع بشكل ملحوظ بين عامي ٢٠١٣ و ٢٠٢٣، سبب ذلك حدث بعض التحضر في مناطق تقلص الغطاء النباتي وهذا سيعمل على رفع درجة حرارة سطح الارض ومن ثم انخفاض المحتوى الرطوبى للترابة، كما يظهر تقلص مساحة الغطاء النباتي خلال فصل الشتاء مقارنة بفصل الربيع حيث التساقط المطري اكبر، واظهرت نتائج السنة ٢٠٢٣ زيادة كبيرة في مساحة الارضي الجردا ٨٨٨.٦٤ /كم^٢ وبنسبة ٦٧.٧٤٪، كما انخفضت مساحة الارضي الزراعية لتحول محلها المناطق المبنية الحضرية للعام ذاته لتصل الى ١٣٣.٤٤ /كم^٢ ونسبة .٪١٠.١٧



الخريطة (٣) تغير مؤشر الغطاء النباتي NDVI للسنوات (٢٠١٣ - ٢٠٢٣) في قضاء المدائن



المصدر: عمل الباحث بالاعتماد على بيانات هيئة المسح الجيولوجي الأمريكية earthexplorer.usgs.gov، بيانات القمر الصناعي Land Sat OLI ، بتاريخ (٢٠١٣/٤/٧ ، ٢٠١٣/١٢/١٧ ، ٢٠٢٣/٤/١ ، ٢٠٢٣/١٢/١٩) – (٢٠١٣/١٢/١٧ ، ٢٠٢٣/٤/١) وتقانات برنامج ArcMap10.4.2



الجدول (٣) تباين مساحة ونسبة مؤشر الغطاء النباتي NDVI للسنوات (٢٠١٣ - ٢٠٢٣) في قضاء المائن

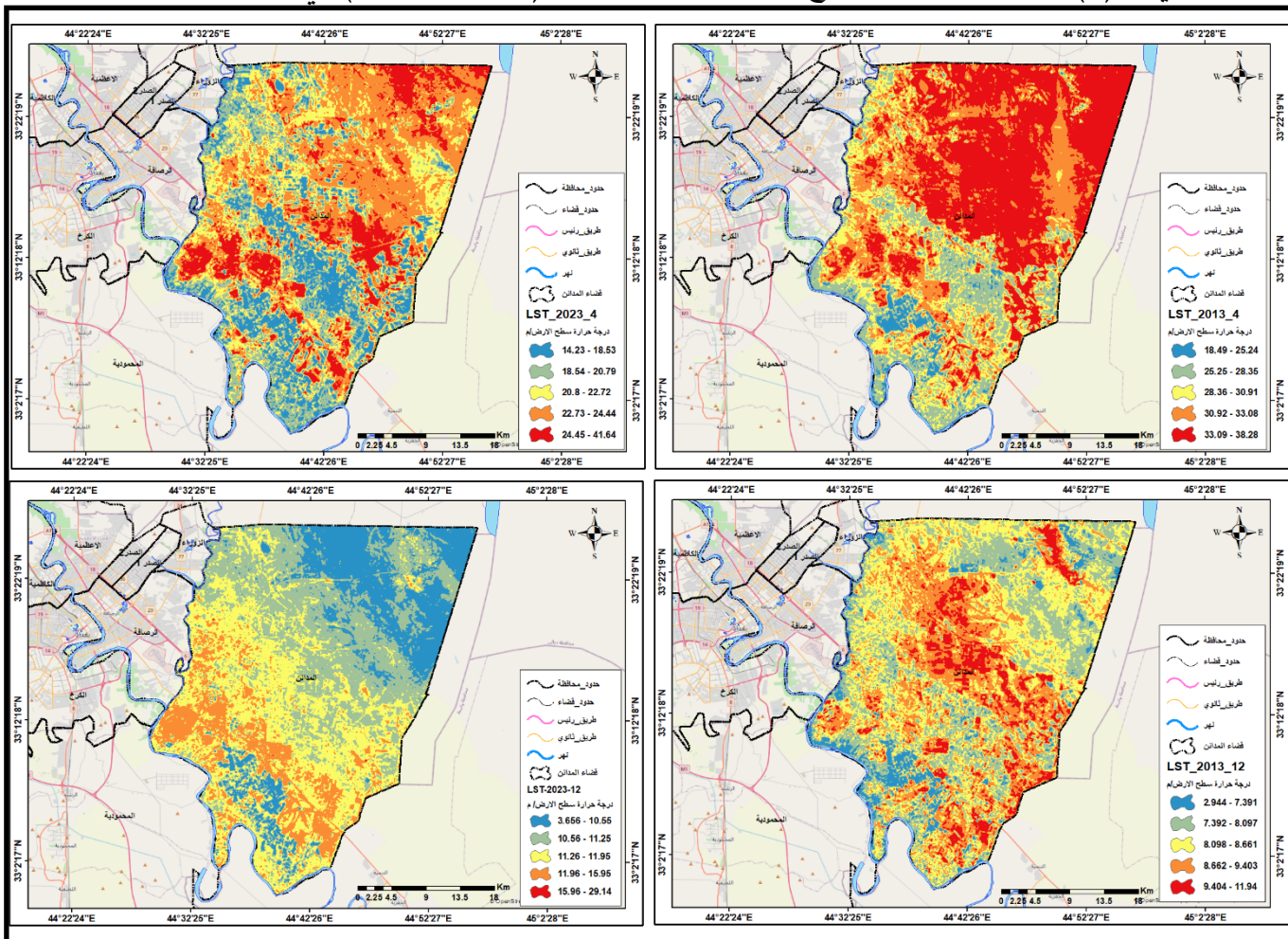
التاريخ	٢٠١٣/٤/٧	٢٠٢٣/٤/١	٢٠١٣/١٢/١٧	٢٠٢٣/١٢/٩
NDVI	المساحة/كم²	النسبة المئوية %	المساحة/كم²	النسبة المئوية %
اراضي جراء	657.59	50.13	725.53	55.31
نبات طبيعي	428.88	32.69	364.89	27.82
اراضي زراعية	225.37	17.18	221.41	16.88
المجموع	1311.84	100	1311.84	100

المصدر: عمل الباحث بالاعتماد على الخريطة (٣).

٣-٣: التغير في درجة حرارة سطح الارض LST للسنوات (٢٠١٣ - ٢٠٢٣)

تم تحليل بيانات الصور الحرارية من كل سنة دراسة للحصول على درجة حرارة سطح الأرض (LST)، تم تصنيف كل خريطة إلى خمس فئات ينظر الخريطة (٤) والجدول (٤)، ولوحظ تغير تدريجي في النمط الزمني و المكاني لدرجة الحرارة خلال مدة الدراسة في قضاء المائن، خلال فصل الشتاء للعام ٢٠١٣ انخفضت درجة الحرارة بمقدار ٢.٩٤٤ - ٧.٣٩١ درجة مئوية تقريباً، وخلال فصل الصيف للعام ذاته، ارتفعت درجة الحرارة بمقدار ٣٣.٠٩ - ٣٨.٢٨ درجة مئوية، يبدو أن العام ٢٠٢٣ هو العام الأكثر دفأً، وبمقارنة LST مع LULC، فمن الواضح أن الزحف العمراني كان سريعاً جداً من عام ٢٠١٣ إلى عام ٢٠٢٣، كما تبين وجود اختلاف في نسبة كل فئة لدرجات حرارة سطح الأرض بين الأعوام المشار إليها، إذ شكلت الفئة (٣٣.٠٩ - ٣٨.٢٨) مساحة قدرها ٥٢٠.٦٧ كم² ونسبة ٣٩.٦٩٪ من مساحة منطقة الدراسة لشهر نيسان للعام ٢٠١٣، ثم انخفضت درجة حرارة سطح الأرض للمدة ذاتها لتصل إلى (٢٤.٤٤ - ٢٢.٧٣) بمساحة ٤٢٣.٧٩ كم² ونسبة ٣٢.٠٣٪ لشهر نيسان من العام ٢٠٢٣، ولوحظ انخفاض درجات حرارة سطح الأرض خلال فصل الشتاء، حيث الفئة (٨.٦٦١ - ٨٠.٩٨) شكلت أكبر مساحة تصل إلى ٤٥١.٦٢ كم² ونسبة ٣٤.٤٣٪ في شهر كانون الأول من العام ٢٠١٣، في حين شكلت الفئة (١١.٩٥ - ١١.٢٦) أعلى مساحة قدرها ٤٥٤.٦٤ كم² ونسبة ٣٤.٦٦٪ وهذا سيعمل على تباين مؤشر رطوبة التربة.

الخريطة (٤) تغير درجة حرارة سطح الأرض LST للسنوات (٢٠١٣ - ٢٠٢٣) في قضاء المدائن



المصدر: عمل الباحث بالاعتماد على بيانات هيئة المسح الجيولوجي الأمريكية earthexplorer.usgs.gov، بيانات القمر الصناعي Land Sat OLI، بتاريخ (٢٠١٣/١٢/١٧، ٢٠٢٣/٤/١) وتقانات برنامج

ArcMap10.4.2

الجدول (٤) تباين مساحة ونسبة درجة حرارة سطح الأرض LST للسنوات (٢٠١٣ - ٢٠٢٣) في قضاء المدائن

تاریخ المرئیات	LST	المساحة / كم²	النسبة المئوية %
	٢٥.٢٤ - ١٨.٤٩	٤٣٠.٤	٣.٢٨
٢٠١٣/٤/٧	٢٨.٣٥ - ٢٥.٢٥	١٨٥.٩٩	١٤.١٨
	٣٠.٩١ - ٢٨.٣٦	٢٢٩.٦٨	١٧.٥١
	٣٣٠.٨ - ٣٠.٩٢	٣٣٢.٤٦	٢٥.٣٤
	٣٨.٢٨ - ٣٣.٠٩	٥٢٠.٦٧	٣٩.٧٩



٥.٩١	٧٧.٥٢	٧.٣٩١ - ٢.٩٤٤	
٢٤.٠٥	٣١٥.٥٦	٨.٠٩٧ - ٧.٣٩٢	
٣٤.٤٣	٤٥١.٦٢	٨.٦٦١ - ٨.٠٩٨	٢٠١٣/١٢/١٧
٢٦.٢	٣٤٣.٦٤	٩.٤٠٣ - ٨.٦٦٢	
٩.٤٢	١٢٣.٥١	١١.٩٤ - ٩.٤٠٤	
١٣.٥٧	١٧٨.٠٣	١٨.٥٣ - ١٤.٢٣	
١٨.٩٢	٢٤٨.٢٥	٢٠.٧٩ - ١٨.٥٤	
٢١.٧٨	٢٨٥.٧٢	٢٢.٧٢ - ٢٠.٨	٢٠٢٣/٤/١
٣٢.٣	٤٢٣.٧٩	٢٤.٤٤ - ٢٢.٧٣	
١٣.٤٢	١٧٦.٠٥	٤١.٦٤ - ٢٤.٤٥	
١٩.١	٢٥٠.٦	١٠.٥٥ - ٣.٦٥٦	
٣٢.٨٥	٤٣٠.٩١	١١.٢٥ - ١٠.٥٦	
٣٤.٦٦	٤٥٤.٦٤	١١.٩٥ - ١١.٢٦	٢٠٢٣/١٢/٩
١٣.٣٨	١٧٥.٥٨	١٥.٩٥ - ١١.٩٦	
٠.٠١	٠.١١	٢٩.١٤ - ١٥.٩٦	

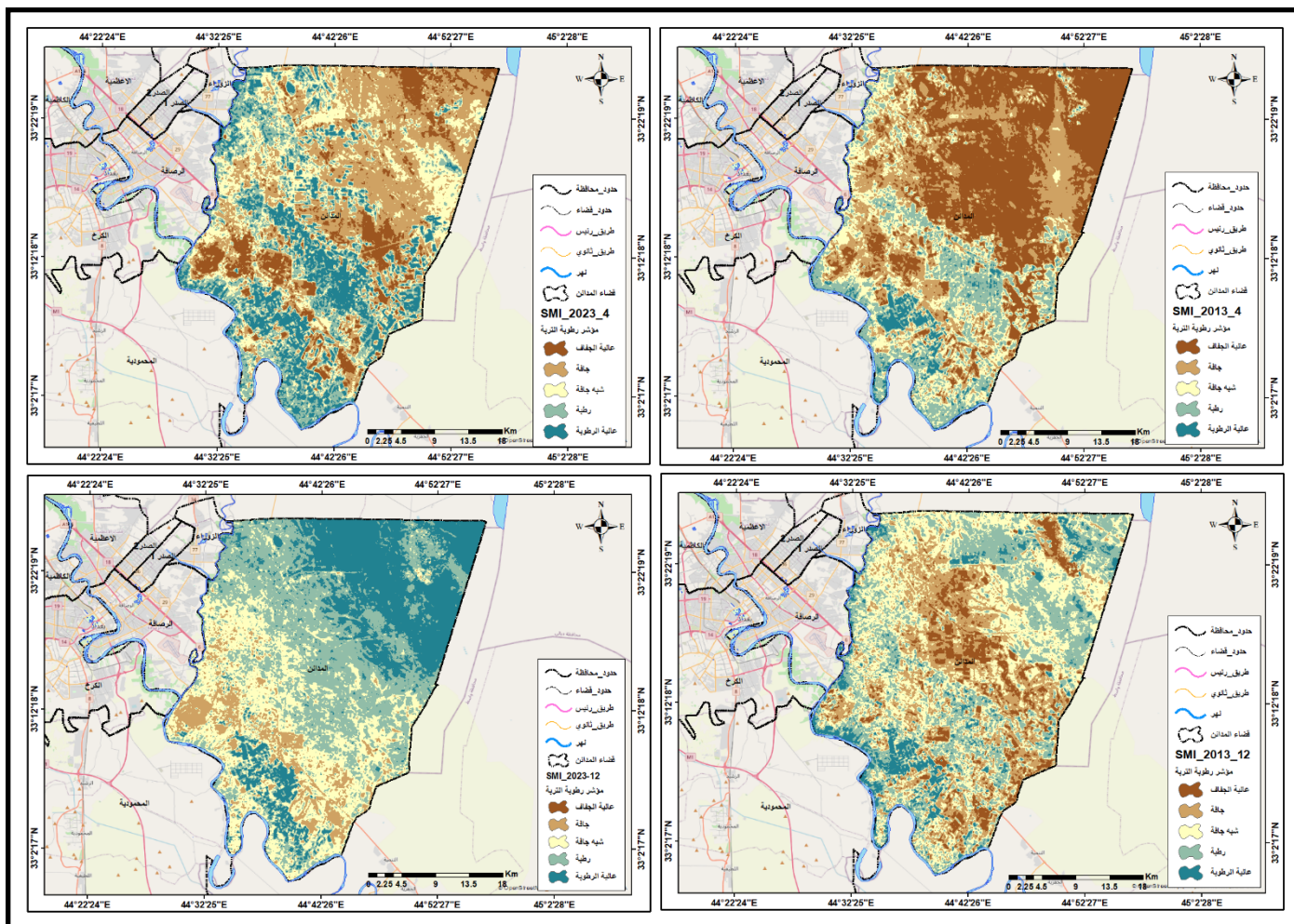
المصدر: عمل الباحث بالاعتماد على الخريطة (٤).

٤- التغير في مؤشر رطوبة التربة SMI لالسنوات (٢٠٢٣ - ٢٠١٣)

تبين سابقاً كيف تغيرت استعمالات الارض والتي سؤثر في شكل تبادل الطاقة بين سطح الارض والغلاف الجوي، بدأ ذلك جلياً في المؤشرات الطيفية للنبات ودرجة حرارة سطح الارض، ستلقي تلك التغيرات ظلالها على تغير مؤشر رطوبة التربة، اذ تم تقسيم منطقة الدراسة الى فئات خمس، الخريطة (٥) والجدول (٥)، لوحظ تغير في مساحة الترب عالية الرطوبة، من $٤٦.٩٢ / \text{كم}^2$ ونسبة ٣٠.٥٨% الى $٢٠٠.٠٧ / \text{كم}^2$ ونسبة ١٥.٢٥% خلال شهر نيسان من العام ٢٠١٣، في حين ارتفعت نسبة الترب عالية الرطوبة خلال فصل

الشتاء من ٩١.٢١ / كم٢ ونسبة ٦.٦٥٪ إلى ٣٥٠.٢٤ / كم٢ ونسبة ٢٦.٧٪ خلال شهر كانون الأول من العام ٢٠٢٣، ان تلك الزيادة مرتبطة بشكل كبير في تغير استعمال الأرض في الجزء الجنوبي الغربي من قضاء المدائن تحديداً في المقاطعات الزراعية (قصيبة، باوي، كرزية) التي استثمرت جزء من مزارعها في تحويلها إلى بحيرات تربية الأسماك فضلاً عن ارتفاع كميات التساقط مقارنة بالمدة السابقة، كما انخفضت مساحة الترب عالية الجفاف من ٤٧٧.٧٩ / كم٢ ونسبة ٣٦.٤٢٪ إلى ١٣٩.٨٥ / كم٢ ونسبة ١٠.٦٦٪ لشهر نيسان من العام ٢٠١٣، ومن ١٠٦.٢٨ / كم٢ ونسبة ٨.١٪ إلى ٠.١١ / كم٢ ونسبة ٠٠٠.١٪ لشهر كانون الأول من العام ٢٠٢٣، والتي اندمجت مع الترب شبه الجافة التي ازدادت مساحتها خلال مدة الدراسة كونها شهدت توسيع المناطق المبنية.

الخريطة (٥) تغير مؤشر رطوبة التربة SMI للسنوات (٢٠١٣ - ٢٠٢٣) في قضاء المدائن





المصدر: عمل الباحث بالاعتماد على بيانات هيئة المسح الجيولوجي الأمريكية earthexplorer.usgs.gov، بيانات القمر الصناعي Land Sat OLI ، بتاريخ (٢٠١٣/٤/٧ ، ٢٠١٣/١٢/١٧ ، ٢٠٢٣/٤/١) - (٢٠١٣/١٢/١٩ ، ٢٠٢٣/٤/١) وتقانات برنامج ArcMap10.4.2

الجدول (٥) تباين مساحة ونسبة مؤشر رطوبة التربة SMI للسنوات (٢٠١٣ - ٢٠٢٣) في قضاء المدائن

٢٠٢٣/١٢/٩		٢٠١٣/١٢/١٧		٢٠٢٣/٤/١		٢٠١٣/٤/٧		التاريخ
%	المساحة/كم²	%	المساحة/كم²	%	المساحة/كم²	%	المساحة/كم²	SMI
٠.٠١	٠.١١	٨.١	١٠٦.٢٨	١٠.٦٦	١٣٩.٨٥	٣٦.٤٢	٤٧٧.٧٩	عالية الجفاف
٨.٢٧	١٠٨.٥١	٢٣.٨٣	٣١٢.٦٣	٣١.٥٤	٤١٣.٨١	٢٧.٤٣	٣٥٩.٨٩	جافة
٢٧.٩٧	٣٦٦.٩٧	٣٣.٩٥	٤٤٥.٣١	٢٣.٣٩	٣٠٦.٨٨	١٧.٦٥	٢٣١.٥٨	شبه جافة
٣٧.٠٥	٤٨٦	٢٧.١٧	٣٥٦.٤١	١٩.١٥	٢٥١.٢٢	١٤.٩٢	١٩٥.٦٦	رطبة
٢٦.٧	٣٥٠.٢٤	٦.٩٥	٩١.٢١	١٥.٢٥	٢٠٠.٠٧	٣.٥٨	٤٦.٩٢	عالية الرطوبة
١٠٠	١٣١١.٨٤	١٠٠	١٣١١.٨٤	١٠٠	١٣١١.٨٤	١٠٠	١٣١١.٨٤	المجموع

المصدر: عمل الباحث بالاعتماد على الخريطة (٥).

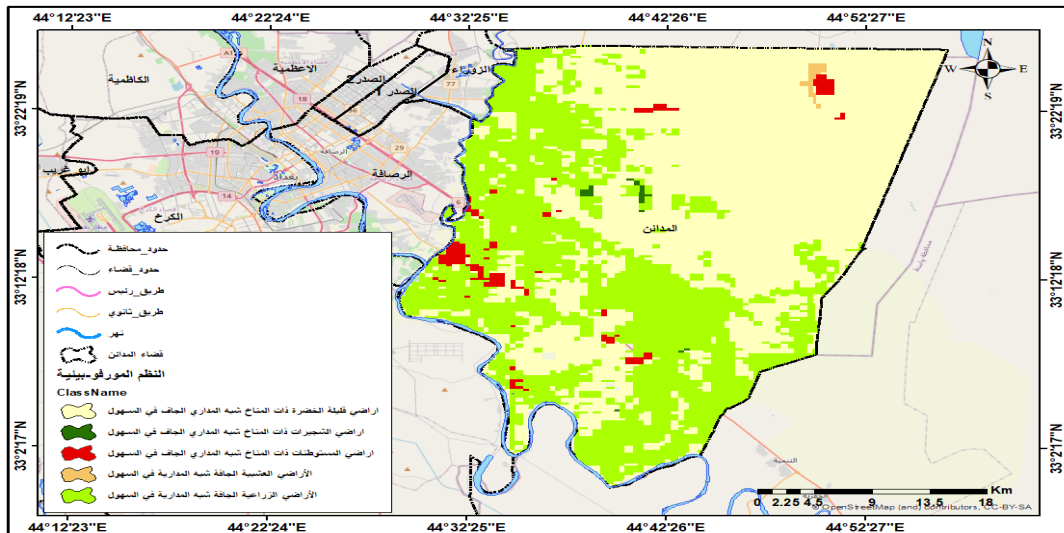
٥-٣: النظم المورفو-بيئية - الحضرية في قضاء المدائن

تعامل الجيومورفولوجيا مع مجموعات معقدة للغاية من العناصر الطبوغرافية أو "الوحدات الجيومورفولوجية" الموجودة في العالم الحقيقي^٨. ومع ذلك، فإن "النظام الجيومورفولوجي" يعني أكثر بكثير من مجرد مجموعة من الوحدات الجيومورفولوجية. ويرتبط أيضًا بـ"نظريّة النّظام (الأنظمة) العامة" التي تصف بنية النظام بما في ذلك التسلسل الهرمي والتسلسلي للوحدات والوحدات الفرعية؛ سلوك النظام، وخاصة التفاعلات بين الوحدات والوحدات الفرعية؛ والتطور الزمني للنظام مع الاستجابات للتغير في الظروف الخارجية، ومن هنا تطور مفهوم النظم المورفو-بيئية، أي العلاقة المعقدة بين التضاريس والبيئة الخارجية، ورُكز العالم شوم على هذا النوع من العلاقات غير الخطية، واقتصر وجود تغذية راجعة بين النظام الجيومورفولوجي والظروف الخارجية، إذ يؤثر الشكل الطبوغرافي على المناخ المحلي المحيط والمناخ المحلي يؤثر على التغير الطبوغرافي في المستقبل، كما تناول هاورد- ١٩٦٥ في كتابه (تاريخ العمليات الجيومورفولوجية)، ان تأثير العملية السابقة

التي عملت على نظام جيومورفولوجي تتناسب مع كثافة ومرة عملها بشكل عكسي مع الزمن المنقضي منذ ان بدأ العمل^٩.

ان التفاعل الحاصل بين التغير في استخدام الأراضي/ فئات الغطاء الأرضي(LULC)، قد اثر بشكل كبير على قابلية الاراضي على الاستجابة الطيفية ومن ثم انتاج مؤشرات ظهر عليها التباين الزمانى والمكاني، اذ ان منطقة الدراسة جزء من السهل الرسوبي وترتفع فيها معدلات درجات الحرارة صيفاً مع اعتدالها شتاءً، ولا توجد تضاريس يمكن ان تعمل على تغيير تلك الخصائص المناخية، تظافرت عوامل عدة على خلق نظام جيومورفولوجي لها اتصف بالاستجابة السريعة لمتغيرات استعمالات الارض التي عملت على تغيير خصائص المناخ المحلي للمنطقة وخلق ظروف بيئية اتصفت بالجفاف بشكل عام مع ارتفاع في معدلات درجات حرارة سطح الارض وانخفاض نسبة التغطية النباتية مقارنة بزيادة نسبة الارض المبنية، ويظهر من الخريطة (٦) والجدول (٦)، نظم مورفو-بيئية-الحضرية عده، اكبرها مساحة هو نظام (اراضي قليلة الخضراء ذات المناخ شبه المداري الجاف في السهول) الذي بلغت مساحة ٧٥٥.٧٥ / كم^٢ ونسبة ٥٧.٦١٪، يليه بالدرجة الثانية نظام (الأراضي الزراعية الجافة شبه المدارية في السهول)، بلغت مساحته ٥٢٨.٣٢ / كم^٢ ونسبة ٤٠.٢٧٪، في حين استحوذ نظام (اراضي المستوطنات ذات المناخ شبه المداري الجاف في السهول) مساحة قدرها ٢١٠.٣ / كم^٢ ونسبة ١٠.٦٢٪، ثم بقية النظم الاخرى، هذا الحال يعمل على زيادة حدة التطرف الحراري مستقبلاً مع تناقص معدل امتصاص الكربون في المستقبل مع الارتفاع في زيادة معالم التحضر في المنطقة وتتناقص مساحة الاراضي الزراعية يقابلها تزايد الاراضي الفاحلة.

الخريطة (٦) النظم المورفو-بيئية-الحضرية في قضاء المائن





المصدر: عمل الباحث بالاعتماد على بيانات:

<https://livingatlas.arcgis.com/>

https://landscape12.arcgis.com/arcgis/rest/services/World_Terrestrial_Ecosystems/ImageServer

Roger Sayre, 25 nov 2019, An assessment of the representation of ecosystems in lobalprotected areas using new maps of World Climate Regionsand World Ecosystems ,
<http://www.elsevier.com/locate/gecco>.

الجدول (٦) تباين مساحة ونسبة النظم المورفو-بيئية في قضاء المدائن

الصنف	المساحة / كم²	النسبة %
اراضي قليلة الخضراء ذات المناخ شبه المداري الجاف في السهول	٧٥٥.٧٥	٥٧.٦١
اراضي الشجيرات ذات المناخ شبه المداري الجاف في السهول	٢.٧٩	٠.٢١
اراضي المستوطنات ذات المناخ شبه المداري الجاف في السهول	٢١.٣	١.٦٢
الأراضي العشبية الجافة شبه المدارية في السهول	٣٠.٦٨	٠.٢٨
الأراضي الزراعية الجافة شبه المدارية في السهول	٥٢٨.٣٢	٤٠.٢٧
المجموع	١٣١١.٨٤	١٠٠

المصدر: عمل الباحث بالاعتماد على الخريطة (٦).

٦-٣: توقع تغير درجات حرارة سطح الارض بالعلاقة مع تغير الغطاء الارضي للمدة ٢٠١٨-٢٠٥٠ :

لاكتشاف المناطق الكوكب الأكثر عرضة للتغير، تم استخدام هذا التقييم لتطوير نموذج الضعف الذي يحدد أين يمكن للتنمية تحويل النباتات الطبيعية إلى الزراعة والأراضي الحضرية بحلول عام ٢٠٥٠ ، يستخدم نموذج ضعف الغطاء الارضي متغيرات عدة كمية ونوعية لفهم الضغوط العالمية لتنمية الأرضي، بما في ذلك المسافة إلى المناطق المعدلة، والبنية التحتية، وأعداد السكان، وبيانات الناتج المحلي الإجمالي، بالإضافة إلى البيانات الجيوفيزائية والمناخية الحيوية، يتم دمج التوقعات الخاصة بكل دولة لإنتاج خرائط مستقبلية للغطاء الأرضي ونقاط الضعف في العالم بدقة ٣٠٠ متر.

بمساعدة Clark Labs ، يمكنك رؤية الغطاء الأرضي المتوقع للعالم على مدى ٣٠ عاماً في المستقبل. تتتوفر سلسلة من الطبقات التحليلية الجديدة في ArcGIS Living Atlas of the World والتي تُظهر الغطاء الأرضي المتوقع في عام ٢٠٥٠ إلى جانب قابلية التغيير من الطبقة الطبيعية إلى الطبقة المعدلة بواسطة



الإنسان. وبما أن مختبرات كلارك صممت هذه الطبقات بناءً على نفس الغطاء الأرضي لمبادرة تغير المناخ التابعة لوكالة الفضاء الأوروبية لعامي ٢٠١٨ و ٢٠١٠ والموجود بالفعل في الأطلس الحي، فيمكن استخدام هذه الطبقات معًا، وتم الاعتماد على المصدر: Esri و Maxar و Earthstar Geographics ومجتمع مستخدمي نظم المعلومات الجغرافية | إيري، هيئة المسح الجيولوجي الأمريكية | إيري، مختبرات كلارك | وكالة الفضاء الأوروبية .^{١٠}

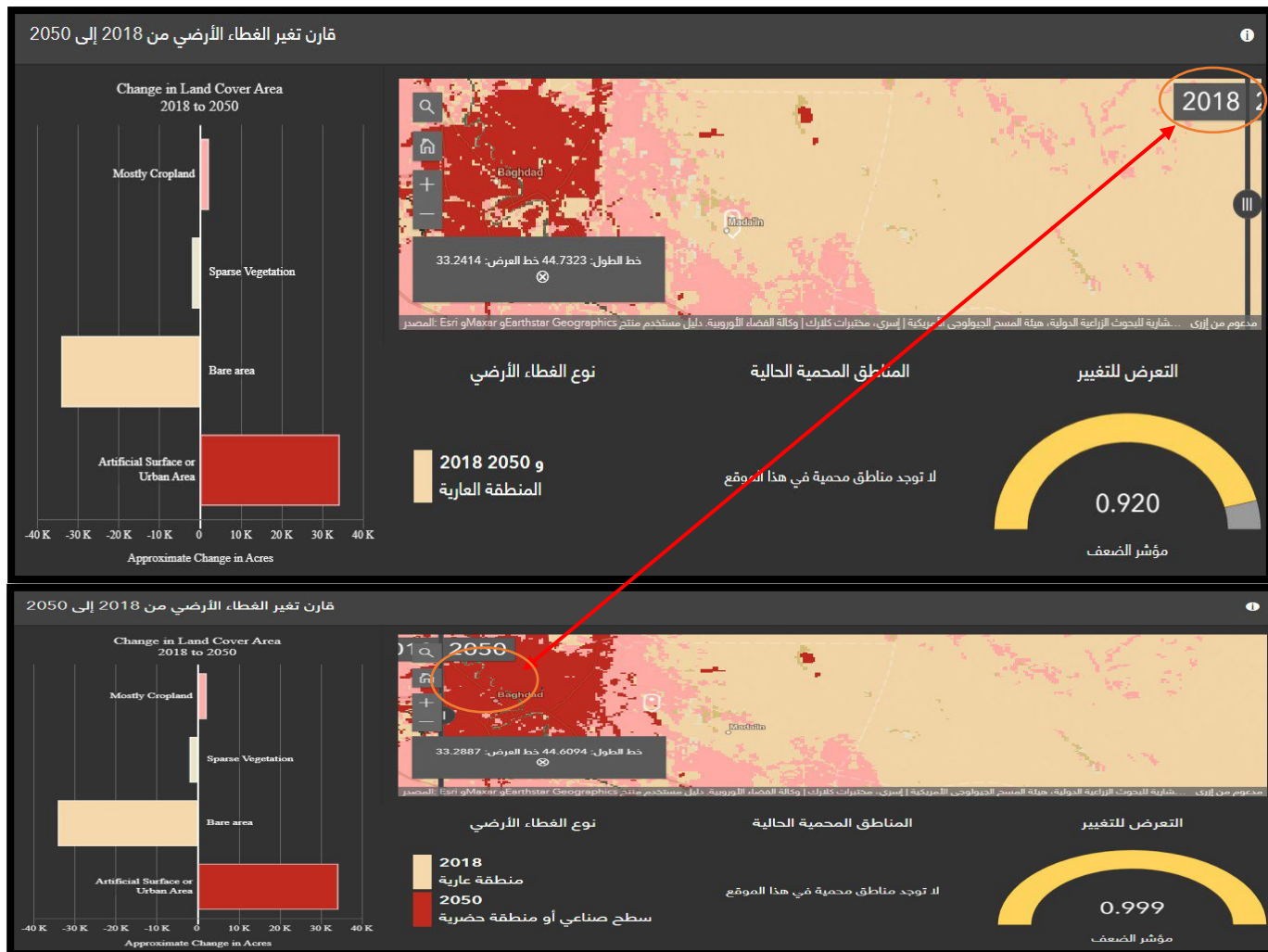
يظهر من الجدول (٧) والشكل (١)، نتيجة حتمية لتزايد السكان و حاجتهم للتوسيع في المساحة من أجل عملية التحضر ، اذ اكتسبت الاراضي الحضرية- الصناعية مساحة قدرها $٢٢.٨٨ / كم^٢$ بلغت نسبة التعرض للتغير كبيرة اقتربت من الواحد الصحيح بمقدار ٠٠.٩٩٧ ، اما الاراضي الجرداء فقدت $٢٢.٧٨٧ / كم^٢$ وبلغ مؤشر التغيير ٠.٩٤٩ . وهذا على حساب توسيع الاراضي الحضرية على حسابها وعلى حساب الاراضي العشبية- الاشجار التي فقدت هي الاخرى مساحة قدرها $٧.٤٦ / كم^٢$ كما انخفض مؤشر التغير فيها الى ٤٢ ، وهذا الفقدان كان حساب تحول تلك الاراضي الى اراض زراعية، من ذلك يتبيّن ان مؤشرات درجات الحرارة تتجه نحو الارتفاع نتيجة لتغير استعمالات الارض و تظاهر الحاجة الى المساحات الخضراء الحضرية لامتصاص الحرارة المتولدة بسبب عملية التحضر و زيادة الأنشطة البشرية، يمكن لتأثير التبريد الحضري هذا التحكم في تأثير الحرارة المفرط على البيئة من أجل راحة الإنسان، ومن الضروري الحفاظ على مستوى الاراضي الزراعية في كل مدينة من أجل الإدارة المستدامة، لأنه بدون بيئة مناسبة لا يمكن العيش في راحة، علاوة على ذلك، فإن البيئة غير المتوازنة تنتج أنواعاً مختلفة من الأمراض، ولكن في الواقع، المناطق الحضرية متراصة بالأطراف وليس متطرفة(عشوانية)، لا ينبغي تطوير منطقة محدودة فقط بل يجب تطويرها في جميع أنحاء قضاء المداين بما فيه المناطق الريفية منه باستخدام التقانات الحديثة .

الجدول (٧) التباين بمساحة ومؤشر التغير في الغطاء الارضي للمدة ٢٠٥٠-٢٠١٨

صنف الغطاء الارضي	الاكتساب / كم ^٢	الفقدان / كم ^٢	مؤشر التعرض للتغير
اراضي حضرية- منطقة صناعية	٢٢.٨٨		٠.٩٩٧
اراضي جراء	٢٢.٧٨٧		٠.٩٤٩
الاراضي العشبية- الاشجار	٧.٤٦		٠.٠٤٢
اراضي زراعية- صالحة للزراعة غير مزروعة	٧.٤٦		٠.٠٠٠

المصدر: عمل الباحث بالاعتماد على الشكل (١).

الشكل (١) مؤشر التغير في الغطاء الارضي للمدة ٢٠٥٠-٢٠١٨





المصدر: Esri و Maxar و مجتمع مستخدمي نظم المعلومات الجغرافية | إيري، المجموعة الاستشارية للبحوث الزراعية الدولية، هيئة المسح الجيولوجي الأمريكية | إيري، مختبرات كلارك | وكالة الفضاء الأوروبية .دليل مستخدم منتج الإصدار ٢ Land Cover CCI [Tech.](https://maps.elie.ucl.ac.be/CCI/viewer/download/ESACCI-LC-Ph2-Tech.(2017).) على:

[https://maps.elie.ucl.ac.be/CCI/viewer/download/ESACCI-LC-Ph2-Tech.\(2017\).](https://maps.elie.ucl.ac.be/CCI/viewer/download/ESACCI-LC-Ph2-Tech.(2017).)

٤- الاستنتاجات

استخدمت هذه الدراسة مركبات Landsat 8 OLI/TIRS لتحليل العلاقة بين تغير صنف الغطاء الأرضي(LULC) وتقلبات درجات الحرارة، باستخدام مؤشر الاختلاف الطبيعي للغطاء النباتي (NDVI)، ودرجة حرارة سطح الأرض (LST)، ومؤشر رطوبة التربة (LST) كمؤشرات أولية، تقع منطقة الدراسة في السهل الرسوبي وسط العراق جنوبى محافظة بغداد، وتم إجراء التحليل خلال المدة ٢٠١٣-٢٠٢٣ ، تم تقدير التغير في صنف الغطاء الأرضي(LULC) في منطقة الدراسة بناءً على نتائج مركبات إيري | سينتينل-٢ مستكشف الغطاء الأرضي (Esri | Sentinel-2 Land Cover Explorer) . لقد أدى التوسع الحضري إلى خلق مساحات سكنية إضافية، على الرغم من أنه قد وصل إلى حد الأقصى، تبين زيادة كبيرة في مساحة ونسبة المنطقة المبنية، وأظهرت نتائج السنة ٢٠٢٣ زيادة كبيرة في مساحة الاراضي الجرداء وبنسبة ٦٧.٧٤٪، كما انخفضت مساحة الاراضي الزراعية لتحول محلها المناطق المبنية للعام ذاته لتصل إلى نسبة ١٠.١٧٪، وخلال فصل الصيف للعام ذاته، ارتفعت درجة الحرارة بمقدار ٣٣.٠٩ - ٣٨.٢٨ درجة مئوية، يبدو أن العام ٢٠٢٣ هو العام الأكثر دفناً، وتبيّن ارتفاع رقعة الجفاف نتيجة التغير في صنف الغطاء الأرضي(LULC) ارتفعت نسبة الترب عالية الرطوبة خلال فصل الشتاء لشهر كانون الاول من العام ٢٠١٣ من ٩١.٢١٪/كم^٢ ونسبة ٦٠.٦٥٪ إلى ٣٥٠.٢٤٪/كم^٢ خلال شهر كانون الاول من العام ٢٠٢٣ ، كما لوحظ وجود أكبر امتداد للنظم المورفو-بيئية هو نظام (اراضي قليلة الخضراء ذات المناخ شبه المداري الجاف في السهول) الذي بلغت مساحة ٧٥٥.٧٥٪/كم^٢ ونسبة ٥٧.٦١٪، ويتوقع ان تزداد الاراضي الحضرية- الصناعية مساحة قدرها ٢٢.٨٨٪/كم^٢ بلغت نسبة التعرض للتغير كبيرة اقربت من الواحد الصحيح بمقدار ٠٠.٩٩٪ ، وهذا سيعمل بالطبع على رفع معدلات درجات حرارة سطح التربة وانخفاض المحتوى الرطوبى لها، وهذا بالطبع يعمل على تغيير ملامح النظام المناخي المحلى لمنطقة الدراسة.

المصادر



¹ - Uddin, Md. J., & Mondal, C., "Effect of earth covering and water body on land surface temperature (lst)", *Journal of Civil Engineering, Science and Technology*, 11(1), 45–56 (2020). <https://doi.org/10.33736/jcest.2065.2020>.

² - Dang H, Gillett NP, Weaver AJ, Zwiers FW. Climate change detection over different land surface vegetation classes. *International Journal of Climatology: A Journal of the Royal Meteorological Society*. 2007;27(2):211-220.

³ - Duda B. Balas a*, Mukesh Kumar Tiwari a, Mukesh Trivedi b and Gautam R. Patel c, Impact of Land Surface Temperature (LST) and Ground Air Temperature (Tair) on Land Use and Land Cover (LULC): An Investigative Study, *International Journal of Environment and Climate Change*, Volume 13, Issue 10, Page 3117-3130, 2023.

^٤ - جمهورية العراق، وزارة التخطيط والمتابعة ،الجهاز المركزي للاحصاء ، تقدیرات سکان محافظة بغداد، ٢٠١٩.

^٥ - باسل أحسان القشطيني، الكتل الهوائية التي تعترض منطقة بغداد في موسم الأمطار، *مجلة الجمعية الجغرافية العراقية*، العدد ٢٤-٢٥، ١٩٩٠، ص ١٢١-١٢٢.

^٦ - <https://www.arcgis.com/home/item.html?id=cfcb7609de5f478eb7666240902d4d3d>

^٧ - Ahmed, B., Kamruzzaman, M. D., Zhu, X., Shahinoor Rahman, M. D., & Choi, K., "Simulating land cover changes and their impacts on land surface temperature in Dhaka, Bangladesh", *Remote Sensing*, 5(11), 5969– 5998 (2013). <https://doi.org/10.3390/rs5115969>.

^٨ - Schumm, S.A. 1977. *The Fluvial System*. New York: John Wiley & Sons.

^٩ - David R. Butler, March 2017, Geomorphic Systems, Texas State University, <https://www.researchgate.net/publication/316118453> .

^{١٠} - <https://geoxc-apps2.bd.esri.com/LivingAtlas/GlobalLandCoverChangePrediction/index.html>



THI QAR ARTS JOURNAL
TQARTJ | VOL 4 NO.50 JUNE. 2025

٢١٦



THIS WORK IS LICENSED UNDER A CREATIVE COMMONS
ATTRIBUTION 4.0 INTERNATIONAL LICENSE



THI QAR ARTS JOURNAL
TQARTJ | VOL 4 NO.50 JUNE. 2025

٢١٧



THIS WORK IS LICENSED UNDER A CREATIVE COMMONS
ATTRIBUTION 4.0 INTERNATIONAL LICENSE



THI QAR ARTS JOURNAL
TQARTJ | VOL 4 NO.50 JUNE. 2025

٢١٨



THIS WORK IS LICENSED UNDER A CREATIVE COMMONS
ATTRIBUTION 4.0 INTERNATIONAL LICENSE